

## تخمین ابعاد حفره آبشنستگی تحت اثر جت قائم دایره‌ای مستغرق

بابک لشکرآرا<sup>\*</sup><sup>۱</sup>، علی لشکرآرا<sup>۲</sup>، منوچهر فتحی مقدم<sup>۳</sup>

<sup>۱</sup> استادیار گروه مهندسی عمران دانشگاه صنعتی جندیشاپور

<sup>۲</sup> دانشآموخته دوره کارشناسی ارشد مهندسی عمران و کارشناس شرکت مهندسین مشاور سامان آبراه

<sup>۳</sup> استاد دانشکده مهندسی علوم آب دانشگاه شهید چمران اهواز

### چکیده

جريدة خروجی از سیستم‌های تخلیه سیالاب اغلب به صورت جت می‌باشد. بسته به عمق پایاب، جت می‌تواند به صورت آزاد یا مستغرق عمل نماید. هرگاه مقدار تراز پایاب از تراز جت بیشتر باشد، جت به صورت مستغرق عمل می‌نماید. ابعاد و مشخصات حفره آبشنستگی متأثر از متغیرهای متعددی از قبیل پارامترهای جربان، مشخصات بستر آبرفتی، زمان و هندسه آبراهه و همچنین ارتفاع ریزش می‌باشد. در این تحقیق به بررسی ابعاد حفره آبشنستگی تحت اثر جت‌های قائم دایره‌ای مستغرق پرداخته شده است. در پژوهش حاضر از مصالح شن ریز یکنواخت با قطر متوسط ۱۱/۱ میلی‌متر استفاده شده است. جهت انجام آزمایش‌ها، سناریوهای مختلفی با تغییر در ارتفاع ریزش جت مستغرق نسبت به بستر اولیه رسوبات و همچنین تغییر در سرعت جربان خروجی از جت تدوین گردید. از بررسی روند تغییرات عمق و طول نسبی متعادل شده حفره آبشنستگی در مقابل عدد فرود جت در حوضچه استغراق ملاحظه می‌گردد که با افزایش عدد فرود جت، میزان عمق و طول نسبی متعادل شده حفره آبشنستگی افزایش می‌باشد. از طرفی نتایج نشان می‌دهند که افزایش یک درصدی ارتفاع نسبتی عمق آبشنستگی دینامیکی و استاتیکی خواهد شد.

**وازگان کلیدی:** آبشنستگی دینامیکی، آبشنستگی استاتیکی، جت قائم، نازل، فرود جت.

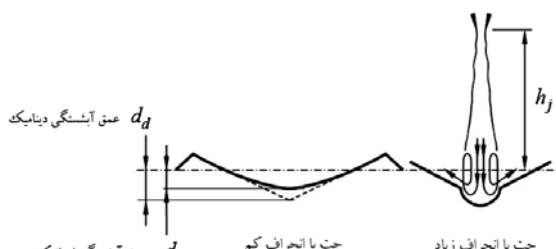
جهاتی مذکور را در گروه جت مستغرق، یا جت آزاد، جت با ارتفاع ریزش زیاد یا جت با ارتفاع ریزش کم، جت هوادهی شده یا جت هوادهی نشده تقسیم‌بندی نمود.

آبشنستگی در جت‌های ریزشی در حالت مستغرق و آزاد اندکی متفاوت است. زیرا در جت‌های آزاد، سیال مقداری از مسیر را در هوا و مقداری را در آب طی می‌کند تا به سطح بستر برسد، ولی در جت‌های مستغرق، سیال تمام مسیر را در آب طی می‌کند. این مسئله باعث می‌شود تأثیر برخی از پارامترهای مؤثر بر آبشنستگی پایین‌دست جت‌های مستغرق نسبت به جت‌های آزاد متفاوت باشد. از جمله این پارامترها عمق پایاب می‌باشد که در آبشنستگی پایین‌دست جت‌های مستغرق اثر کمتر ولی در جت‌های آزاد اثر بیشتری دارد.

الگوی جربان در جت‌های ریزشی عمودی با دیگر حالت‌های مختلف جت متفاوت است. پس از برخورد جت عمودی به بستر، آبشنستگی آغاز شده و ابتدا جت با زاویه حدود ۱۸۰ درجه به اطراف منحرف می‌شود. پس از آن توسعه و افزایش عمق آبشنستگی باعث افزایش فاصله برخورد جت با بستر (ارتفاع ریزش جت) شده و جت از مرز حفره آبشنستگی تبعیت کرده و با زاویه انحراف کمتری به اطراف منحرف می‌شود. در جت عمودی، شکل حفره آبشنستگی در پلان متقارن بوده و رسوبات خارج شده از

بحث آبشنستگی هر چند قدمنی طولانی در علم هیدرولیک دارد، لیکن به دلیل شرایط و پیچیدگی‌های خاص آن همچنان مورد توجه خاص محققین علم هیدرولیک و مهندسی رودخانه است. سازه‌های هیدرولیکی از جمله سدها، با ایجاد تغییر در رژیم یکنواخت آب، باعث عدم تعادل انرژی بالادست و پایین دست سازه می‌شوند. به منظور برقراری مجدد این تعادل در سیستم انتقال آب به پایین دست تحت شرایط کنترل شده، لازم است تا انرژی مازاد به نحو مقتضی مستهلک شود. یکی از روش‌های معمول و مؤثر برای استهلاک انرژی مازاد در سدهای با ارتفاع زیاد، جت‌های ریزشی آزاد و برخورد آن‌ها با حوضچه پایین دست است. اهمیت بررسی پدیده آبشنستگی زمانی آشکار می‌گردد که عمق آبشنستگی در پایاب قبل از برخورد جت با دسته‌های که فرسایش حاصل از آن در کف حوضچه استغراق به پی سازه‌های مجاور رسیده و پایداری آن‌ها را در معرض خطر قرار دهد.

آبشنستگی ناشی از برخورد جت با بستر فرسایش پذیر را می‌توان با توجه به نوع جت به دسته‌های مختلفی طبقه‌بندی نمود. در این میان می‌توان به آبشنستگی ناشی از جت‌های عمودی، جت‌های افقی و جت‌های پرتایی اشاره نمود. از طرفی با توجه به موقعیت استقرار جت نسبت به سطح پایاب می‌توان



شکل ۱- الگوهای جریان و نیمرخ بستر ناشی از جت‌های با انحراف زیاد و کم

تحقیقات Rajaratnam و Aderibigbe [۱] نشان داد که حفره آبشنستگی ناشی از جت‌های با انحراف زیاد دارای یک فرورفتگی عمیق در مرکز است و با یک سطح شیبدار به برآمدگی اطراف حفره وصل می‌شود. این شرایط هنگامی محقق می‌گردد که  $K < 14$  و  $E_c > 0.35$  باشد. در این حالت، جت با زاویه‌ای بین  $\varphi = 90^\circ + 180^\circ$  درجه وابسته به مقادیر  $K$  و  $E_c$  تغییر جهت می‌دهد. این انحراف جت، مواد فرسایش یافته درون حفره را به صورت معلق به خارج حفره منتقال می‌دهد و در نتیجه ظرفیت منتقال جت در فواصل شعاعی بزرگ‌تر، کاهش یافته و ذرات بر روی کناره‌های داخلی حفره آبشنستگی تنهشین شده و به تدریج به سمت مرکز حفره سرمهی خورند و دوباره توسط جریان برداشته می‌شوند. در این نوع جت، جریان داخل حفره آبشنستگی به صورت دورانی است و ذرات را به صورت معلق در حفره آبشنستگی می‌چرخاند و پس از توقف جت، ذرات معلق در حفره ته نشین می‌شوند. بنابراین عمق آبشنستگی استاتیکی (عمق آبشنستگی پس از قطع جریان) کمتر از عمق آبشنستگی دینامیکی (عمق آبشنستگی در هنگام انجام آزمایش) است. در این حالت شبیه اطراف حفره آبشنستگی تقریباً برابر با زاویه استقرار ذرات در حالت مستغرق است. در این نوع جت، جدایی جریان در لبه داخلی حفره آبشنستگی اتفاق می‌افتد. مواد فرسایش یافته از حفره آبشنستگی توسط جت دیواره‌ای به صورت معلق به سمت بیرون حمل شده و در نهایت ته نشین می‌شوند.

با افزایش  $K$  یا  $E_c$  زاویه انحراف جت افزایش می‌یابد و ممکن است به  $180^\circ$  درجه نیز برسد. هرچه زاویه جت منحرف شده بیشتر شود، قسمت بیشتری از مواد فرسایش یافته دوباره به داخل حفره آبشنستگی باز می‌گردد و نمی‌توانند خود را از جریانات دورانی داخل حفره خارج ساخته و به نیمرخ فرسایش کمک کنند. تنها بخش کوچکی از ذرات از طریق جریان شعاعی به سمت لبه حفره، حمل شده و تنهشین می‌شوند. این روند تا

حفره آبشنستگی در اطراف حفره تنهشین می‌شود. Rajaratnam و Aderibigbe [۱]، بر اساس مقادیر پارامتر فرسایش  $E_c$  و پارامتر فشار  $K$  جت‌های مستغرق عمودی را به دو دسته جت با انحراف زیاد  $SDJR^1$  و جت با انحراف کم  $WDRJ^2$  تقسیم‌بندی کردند. شکل (۱) الگوهای جریان و نیمرخ بستر ناشی از این دو جت را نشان می‌دهد. ایشان پارامترهای فرسایش و فشار را به صورت زیر تعریف نمودند.

$$E_c = \frac{V_j}{\sqrt{g D_{50} (G_s - 1)}} \times \frac{d_n}{h_j} \quad (1)$$

$$K = \left( \frac{V_b}{\omega} \right)^2 \quad (2)$$

که در آن  $V_b$  سرعت جت در سطح مصالح بستر،  $\omega$  سرعت سقوط ذرات بستر،  $d_n$  قطر جت،  $V_j$  سرعت جت در خروجی،  $g$  شتاب ثقل،  $D_{50}$  قطر متوسط ذرات بستر،  $j$  ارتفاع ریزش جت و  $G_s$  چگالی نسبی می‌باشد.

بر اساس مطالعات Rajaratnam و Aderibigbe [۱] جت‌های با انحراف زیاد  $SDJR$  تحت شرایط  $3 < K < 1.5$  و  $E_c < 0.35$  ایجاد می‌شوند. در این حالت حفره آبشنستگی کم عمقی ایجاد می‌شود و جت پس از برخورد به بستر، انحرافی بین زاویه  $90^\circ$  تا  $90^\circ + \varphi$  خواهد داشت. در اینجا  $\varphi$  زاویه استقرار داخلی ذرات بستر می‌باشد. جت دیواره‌ای حاصل از انحراف جریان، مسیر حفره را تا تاج برآمدگی اطراف حفره طی می‌کند. جدایی جریان در لبه حفره بر اثر تغییر شکل بستر حاصل می‌شود که البته تأثیری بر آبشنستگی داخل حفره ندارد. مواد فرسایش یافته، پس از انحراف جت، تنهشین شده و به صورت بار بستر در جهت شعاعی به سمت بیرون حمل می‌شوند. شعاع فرسایش  $r_0$  که حداقل فاصله حمل رسوب می‌باشد، با گذشت زمان تغییر زیادی نمی‌کند، ولی حداقل عمق فرسایش با افزایش هر دو پارامتر فشار و زمان فرسایش، افزایش می‌یابد تا در نهایت به مقدار تعادل برسد.

در این جت، شبیه کناره‌های حفره آبشنستگی نسبت به پارامتر فشار یا پارامتر فرسایش بسیار حساس بوده و با افزایش این پارامترها مقدار آن افزایش می‌یابد.

1- Strongly deflected jet regime

2- Weakly deflected jet regime

لشکرآرا و همکاران [۵] نسبت به بررسی آزمایشگاهی عمق آبشنستگی ناشی از جت‌های قائم هوادهی شده اقدام نمود. ایشان تحقیقات خود را در سه سناریو مختلف تغییر در عمق پایاب و تغییر در میزان هوای وارد به جت تدوین کردند. نتایج تحقیقات ایشان نشانگر این مسئله بود که با افزایش غلظت هوای وارد به جت، میزان عمق و طول نسبی متعادل شده حفره آبشنستگی کاهش می‌یابد. همچنین ایشان دریافتند که چنانچه میزان غلظت هوای وارد به جت کوچکتر از  $3/25$  درصد باشد، اثری بر عمق متعادل شده حفره آبشنستگی نخواهد داشت. از طرفی در صورتی که غلظت هوای وارد به جت از ۲۵ درصد تجاوز نماید، روند تغییرات عمق نسبی متعادل شده حفره آبشنستگی به حالت تعادل خواهد رسید.

تعیین رابطه میان پارامترهای مؤثر بر ابعاد حفره آبشنستگی و یافتن تابع حاکم بر فضای نگاشت آنها از موضوع‌های مهم در مهندسی هیدرولیک است که در آن سعی می‌شود رابطه‌ای ریاضی میان عمق  $d_s$  و طول  $L_s$  حفره آبشنستگی در حوضچه استغراق به عنوان متغیرهای وابسته، و پارامترهای مهم مؤثر بر این پدیده به عنوان متغیرهای مستقل و نحوه تأثیر آنها به دست آید.

به دلیل وجود ماهیت سه‌بعدی خصوصیات جریان‌های متلاطم در مبحث استهلاک انرژی از یکسو و صعوبت حل معادلات ریاضی حاکم بر فضای تحقیق از سوی دیگر منجر شده است تا محققین جهت بررسی خصوصیات این پدیده از مدل‌های فیزیکی استفاده نمایند. مدل امکان پاسخگویی به مسئله پیچیده را دارا می‌باشد و با وجود هزینه‌های اجرایی نسبتاً بالا، نیازمند تجربیات افراد خبره می‌باشد. در این تحقیق به کمک یک مدل فیزیکی به بررسی اثر میزان عمق پایاب و شرایط هیدرولیکی جریان خروجی از نازل بر ابعاد حفره آبشنستگی ناشی از برخورد آن بر حوضچه استغراق پرداخته شده است.

## ۲- مواد و روش‌ها

هدف از تحقیق حاضر، بررسی اثر میزان تغییر در شرایط هیدرولیکی و عمق پایاب بر ابعاد حفره آبشنستگی رسوبات در حوضچه استغراق تحت اثر جت‌های قائم دایره‌ای مستغرق می‌باشد. لذا برای این منظور یک مدل فیزیکی در آزمایشگاه مدل‌های فیزیکی دانشگاه صنعتی جندی‌شاپور ساخته شد. مدل فیزیکی مورد نظر از قابلیت اندازه‌گیری دقیق و فشار خروجی از نازل با استفاده از کنتور الکترومغناطیس با دقت مضاعف و ترانسندیوسر فشار برخوردار است. همچنین با استفاده از دریچه

زمانی که تعادل دینامیکی بین جریان و شکل بستر به وجود آید ادامه می‌یابد.

Rajaratnam و Aderibigbe [۱] با جمع‌آوری داده‌های مربوط به جت‌های عمودی دایره‌ای مستغرق، روابط (۳) و (۴) را جهت تخمین عمق و عرض حفره آبشنستگی ارائه نمودند.

$$\frac{d_s}{h_j} = 0.05(E_c - 0.14)^{0.6} \frac{G_s^{3.1}}{(G_s - 1)^{2.8}} \quad (3)$$

$$\frac{L_s}{h_j} = 11 E_c^{0.65} \frac{(G_s - 1)^{6.2}}{G_s^{6.6}} \quad (4)$$

که در آن  $d_s$  حداکثر عمق آبشنستگی از سطح اولیه مصالح،  $E_c$  پارامتر فرسایش که از رابطه (۱) به دست می‌آید و  $L_s$  حداکثر عرض حفره آبشنستگی از محور جت می‌باشد.

Raudikivi [۲] بر روی جت‌های عمودی مستغرق مطالعه نمود و تحقیقات وی منجر به معرفی روابط (۵) و (۶) گردید.

$$\frac{d_s}{d_n} = 0.075 \left( \frac{V_j}{u_{*c}} \right)^1 \quad \text{if} \quad \frac{V_j}{u_{*c}} < 100 \quad (5)$$

$$\frac{d_s}{d_n} = 0.075 \left( \frac{V_j}{u_{*c}} \right)^{2/3} \quad \text{if} \quad \frac{V_j}{u_{*c}} > 100 \quad (6)$$

که در آن  $V_j$  سرعت جت در خروجی و  $u_{*c}$  سرعت برشی بحرانی ذرات بستر می‌باشد.

Chakravarti و همکاران [۳] با انجام آزمایش‌هایی به بررسی اثر آبشنستگی استاتیکی و دینامیکی در حوضچه‌های استغراق تحت اثر جت‌های قائم دایره‌ای مستغرق پرداختند. ایشان در آزمایش‌های خود از ذرات غیر چسبنده با قطر متوسط  $2/8$  میلی‌متر استفاده نمودند. در این تحقیق از دو قطر مختلف نازل با قطرهای  $8$  و  $12/5$  میلی‌متر استفاده گردید. ارتفاع نصب جت تا سطح اولیه رسوبات در دو سناریو  $15$  و  $30$  سانتی‌متر تدوین گردید. نتایج کار ایشان با نتایج تحقیق Ansari و همکاران [۴] مطابقت مطلوبی نشان می‌دهد. ایشان نشان دادند که تفاضل بین عمق آبشنستگی دینامیکی و استاتیکی به صورت خطی با پارامتر فرسایش افزایش می‌یابد.

با بررسی‌های به عمل آمده در تحقیقات پیشین و جمع‌آوری اطلاعات آزمایشگاهی انجام شده از جمله شرایط هیدرولیکی و مشخصات مصالح مورد استفاده، مشخص گردید که اکثر تحقیقات انجام شده در گذشته بر روی بستر ماسه‌ای و در مقیاس‌های هیدرولیکی و ژئومتری کوچک به اجرا در آمدند. در جدول (۱) محدوده تغییرات پارامترهای هیدرولیکی و اندازه مصالح آبرفتی مورد استفاده در تحقیقات پیشین جهت تعیین مشخصات حفره آبشنستگی، تحت اثر جت مستغرق قائم دایره‌ای را نشان می‌دهد. هر چند که روابط محققین پیشین به صورت بدون بعد ارائه شده‌اند، ولی اثر مقیاس در خروجی نتایج آن‌ها می‌تواند مؤثر باشد.

لذا به منظور کاهش اثر مقیاس در اندازه مصالح بستر اصلاحاتی مد نظر قرار گرفت و مقرر شد تا رسوبات مورد استفاده در این تحقیق از مصالح بستر آبرفتی رودخانه‌ای غیرچسبنده با دانه بندی متوسط  $11/1$  میلی‌متر (ذرات عبوری از الک شماره  $1/2$  و  $3/8$  اینچ) مورد استفاده قرار گرفت. چگالی ذرات برابر  $2650$  کیلوگرم بر متر مکعب تعیین گردید. محدوده تغییرات شرایط هیدرولیکی و مشخصات ژئومتری مصالح بستر، قطر نازل و ارتفاع ریزش در تحقیق حاضر در مقایسه با تحقیقات پیشین در جدول (۱) نمایش داده شده است.

جهت تعیین رابطه میان پارامترهای مؤثر بر ابعاد حفره آبشنستگی و یافتن تابع حاکم بر فضای نگاشت آن‌ها از تئوری باکینگهام  $\pi$  استفاده شده است.

برای این منظور ابعاد حفره آبشنستگی ( $L_s, d_s, h_{tw}$ ) به عنوان متغیرهای وابسته، و پارامترهای مهم مؤثر بر این پدیده شامل قطر نازل،  $V_j$  سرعت جت،  $B$  عرض مخزن،  $h_j$  ارتفاع نصب جت،  $h_{tw}$  عمق پایاب،  $D_{50}$  عمق متوسط رسوبات آبرفتی،  $g$  شتاب ثقل،  $\mu$  لزوجت آب،  $\rho_w$  وزن مخصوص آب،  $\rho_s$  وزن مخصوص رسوبات به عنوان متغیرهای مستقل در نظر گرفته شدند. بنابر این می‌توان نوشت:

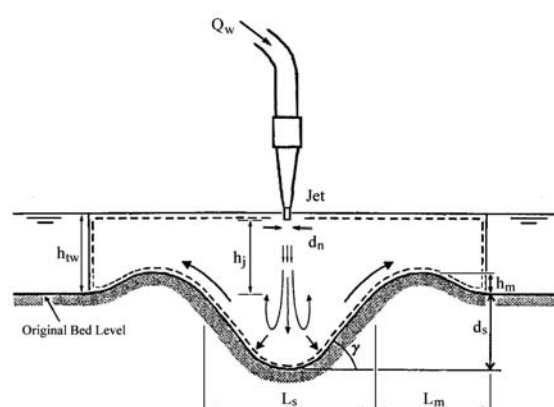
$$f(V_j, d_s, B, h_{tw}, h_j, D_{50}, g, \mu, \rho_s, \rho_w) = 0 \quad (7)$$

از آن جایی که در این تحقیق جت به صورت مستغرق مورد بررسی قرار گرفته است نوک نازل به میزان یک سانتی‌متر در زیر تراز آب پایاب مستغرق گردیده، لذا می‌توان تنها یکی از پارامترهای  $h_{tw}$  و  $h_j$  را در معادله (۷) مورد بررسی قرار داد که در اینجا ارتفاع جت  $h_j$  به عنوان یک متغیر مستقل در نظر گرفته می‌شود.

کشویی پایین‌دست امکان تغییر در میزان عمق پایاب فراهم گردیده است. آزمایش‌ها در یک مخزن با طول دو متر، عرض یک متر و عمق یک متر به اجرا درآمد. جریان آب از طریق یک لوله با قطر  $4$  اینچ با مقطع دایره‌ای به سمت نازل انتقال می‌پابد. به منظور شبیه‌سازی شرایط حفره آبشنستگی تحت جت‌های قائم، ارابه کنترل کننده زاویه نازل سیستم آزمایشگاهی، تحت زاویه  $90$  درجه تنظیم گردید. جهت اعمال اثر عمق پایاب با استفاده از دریچه پایین دست، تراز پایاب به ترتیب در اعماق  $32/5$  و  $38/5$  سانتی‌متر تنظیم گردید. با اندازه‌گیری عمق دینامیکی در بازه‌های زمانی متوالی مقادیر عمق آبشنستگی دینامیکی در مقابل زمان ثبت گردید. از ترسیم این اعماق در مقابل زمان تجمعی در چندین آزمایش، نشان داد که بعد از  $300$  ثانیه تغییرات محسوسی در عمق دینامیکی چاله آبشنستگی رخ نمی‌دهد، لذا زمان  $5$  ساعت به عنوان مبنای آزمایش‌ها انتخاب گردید.

پس از برقراری تعادل در حفره آبشنستگی پروفیل بستر با استفاده از یک دستگاه متر لیزری مدل Leica Disto D8 برداشت گردید و سپس با استفاده از پروفیل مربوطه مشخصات چاله آبشنستگی استخراج گردید.

سیستم آزمایشگاهی مورد استفاده در تحقیق حاضر در مقایسه با تحقیقات پیشین در دسته مدل‌های متوسط مقیاس قرار دارد. در این راستا می‌توان به کاهش اثر مقیاس و کاهش اثر دیواره‌ها بر پرسه آبشنستگی اشاره نمود. از استفاده از ابزار دقیق می‌تواند منجر به افزایش دقت نتایج حاصله شود. در شکل (۲) موقعیت نازل نسبت به حفره آبشنستگی و همچنین پارامترهای حاکم بر فضای تحقیق نشان داده شده‌اند.



شکل ۲- پارامترهای حاکم بر فضای تحقیق

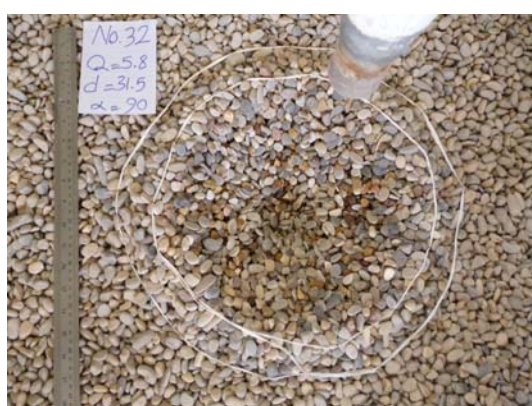
جدول ۱- محدوده تغییرات مطالعات انجام شده در خصوص آبشنستگی تحت اثر جت مستغرق قائم دایره‌ای

ارتفاع نسب نازل $h_j$ (m)	سرعت جت $V_j$ (m/s)	قطر نازل $d_n$ (mm)	متوسط قطر ذرات $D_{50}$ (mm)	نام محقق
۰/۲۴	۰/۶۶ - ۲/۸۳	۸/۲۶ - ۱۶/۵	۰/۵۳ - ۰/۷۵	[۶] Sarma
۰/۸۲	۰/۷ - ۳/۷	۲۰ - ۴۰	۱/۵	[۷] Kobus و Westrich
۰/۱۴ - ۰/۲۸	۲/۹۹ - ۴/۶	۹/۸	۱/۲ - ۲/۳۸	[۸] Rajaratnam
۰/۰۰۴ - ۰/۵۲۳	۲/۶۵ - ۴/۴۵	۴ - ۱۲	۰/۸۸ - ۲/۴۲	[۹] Rajaratnam و Aderibigbe
۰/۱۵ - ۰/۳۰	۱/۳ - ۵/۷۵	۸ - ۱۲/۵	۰/۲۷	[۱۰] Ansari و همکاران
۰/۱۵ - ۰/۳	۵/۱۲ - ۹/۸۴	۸ - ۱۲/۵	۲/۸	[۱۱] Chakravartri و همکاران
۰/۳۱۵ - ۰/۴۲۵	۴/۰۷ - ۸/۱۴	۲۵	۱۱/۱	تحقيق حاضر

شد. پس از پر شدن مخزن با استفاده از دریچه کشویی شرایط عمق پایاب تا تراز مورد نظر تأمین گردید. سپس با استفاده از شیر ورودی، دبی آب مورد نظر تنظیم شد. در این مرحله مجدداً با قرائت اشل منصوبه در پایاب از تثبیت عمق پایاب در سناریوهای از پیش تدوین شده، اطمینان حاصل گردید و سپس با خروج صفحه فلزی محافظ بستر، عملآزمایش آغاز گردید.

پس از سپری شدن زمان تعادل، عمق دینامیکی آبشنستگی با استفاده از عمق سنج اندازه‌گیری گردید. پس از قطع جریان جت و تخلیه آب مخزن، با استفاده از متر لیزرنی نسبت به ثبت تغییرات پروفیل آبشنستگی بستر اقدام شد. شکل (۳) تصویر چاله آبشنستگی و شکل‌های (۴) تا (۶) پروفیل طولی آبشنستگی تشکیل شده در سطح رسوبات را تحت تغییر در میزان عمق پایاب نشان می‌دهد. نتایج تحقیق نشان داد که عمق دینامیکی آبشنستگی تقریباً در ۴۵ دقیقه اول آزمایش به ۸۰ درصد عمق نهایی خود می‌رسد.

نتایج تحقیقات Clarke [۱۲] و Ansari [۱۰] و Rajaratnam [۸] نیز تائید کننده این مطلب می‌باشد.



شکل ۳- تصویر چاله آبشنستگی

با در نظر گرفتن پارامترهای  $\rho, g, h_j$  به عنوان متغیرهای تکراری و حذف پارامترهای ثابت همچون قطر ذرات رسوب  $D_{50}$ ، قطر نازل  $d_n$ ، عرض مخزن  $B$  و وزن مخصوص ذرات رسوبی  $\rho$  معادلات بدون بعد حاکم بر ابعاد حفره آبشنستگی ناشی از جت در حوضچه استغراق را می‌توان به صورت روابط (۸) و (۹) نوشت:

$$d_s/h_w = f(V_j/\sqrt{gh_j}, \rho_w V_j h_j / \mu) \quad (8)$$

$$L_s/h_w = f(V_j/\sqrt{gh_j}, \rho_w V_j h_j / \mu) \quad (9)$$

پارامترهای ظاهر شده نشانگر اعداد بدون بعد معروف فرود و رینولدز می‌باشند. به دلیل متألم بودن جریان می‌توان از اثر عدد رینولدز چشم پوشی نمود. پارامتر  $V_j/\sqrt{gh_j}$  که از جنس عدد فرود می‌باشد و معرف میزان نیروی وارد به ذرات بستر است در ادامه تحقیق تحت عنوان پارامتر فرود جت نامیده شده و با عبارت  $Fr_j$  نمایش داده خواهد شد.

### ۳- نتایج آزمایشگاهی

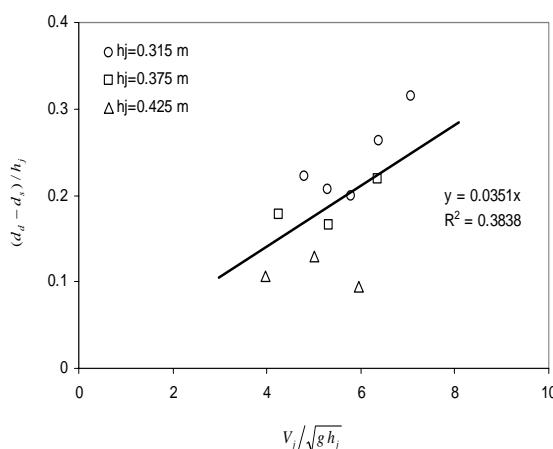
همان‌طوری که در روش تحقیق اشاره شد، شرایط آزمایشگاهی به گونه‌ای تنظیم گردید که اثر عمق جت بر میزان پارامتر فرود جت مورد ارزیابی قرار گیرد. برای این منظور تراز دریچه پایین دست به گونه‌ای تنظیم گردید که عمق پایاب در ترازهای  $32/5$ ،  $38/5$  و  $43/5$  سانتی‌متر ثبت گردد.

جهت جلوگیری از برخورد مستقیم جت خروجی از نازل با سطح مصالح و ایجاد آبشنستگی مجازی بر روی آن، سطح مصالح قبل از شروع آزمایش با استفاده از یک صفحه فلزی پوشش داده

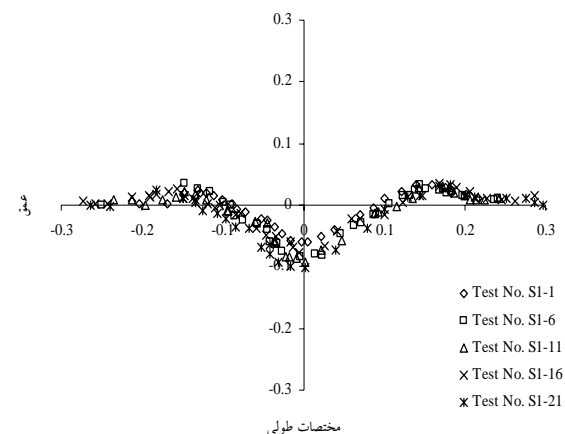
بر اساس نتایج تحقیقات مذکور، پروفیل تقریبی عمق آبشتگی دینامیکی تقریباً در ۳۰ دقیقه اول آزمایش به ۷۵ درصد عمق تعادل آن خواهد رسید. دلیل اختلاف نتایج تحقیق حاضر با مطالعات پیشین را می‌توان در اندازه قطر ذرات بستر جویا شد. به منظور بررسی اثر عمق پایاب و سرعت جت بر میزان اختلاف عمق آبشتگی دینامیکی و استاتیکی، نتایج حاصل از تحقیق حاضر در جدول (۲) خلاصه شده است.

اثر تغییرات عدد فرود جت  $Fr_j = V_j / \sqrt{gh_j}$  در مقابل نسبت بدون بعد تفاوت عمق آبشتگی دینامیکی و استاتیکی  $(d_d - d_s)/h_j$  در شکل (۷) نمایش داده شده است. از بررسی نتایج مندرج در جدول (۲) و شکل (۸) می‌توان دریافت که افزایش ارتفاع جت  $h_j$  باعث کاهش تفاوت عمق آبشتگی دینامیکی و استاتیکی می‌گردد. به گونه‌ای که با افزایش هر یک درصد عمق نصب جت کاسته می‌شود و به تناسب آن ۰/۳۳ درصد از عدد فرود جت کاسته می‌شود و به تناسب آن ۰/۴۶۵ درصد از تفاوت عمق آبشتگی دینامیکی و استاتیکی کسر خواهد شد. با ترکیب نتایج حاصل از تحقیق حاضر با داده‌های Aderibigbe و Westrich [۶]، Kobus [۷] و Sarma [۸] و Chakravarti [۹]، Rajaratnam [۱۰] و همکاران [۱۱]، Ansari و همکاران [۱۲]، همکاران [۱۳]، تغییرات عمق استاتیکی بدون بعد متعادل شده آبشتگی  $d_s/h_j$  در مقایسه با پارامتر فرسایش  $E_c$  (معادله (۱)) در شکل (۸) نمایش داده شده است.

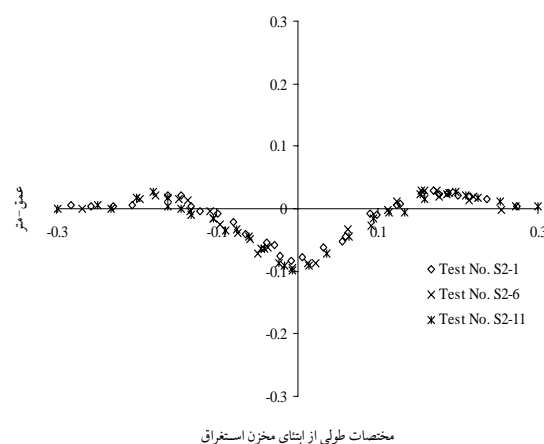
Ansari و همکاران [۱۲] در طی مطالعات خود نسبت به معروفی معادله (۱۰) جهت نمایش تغییرات  $d_s/h_j$  در مقابل پارامتر فرسایش اقدام نمودند.



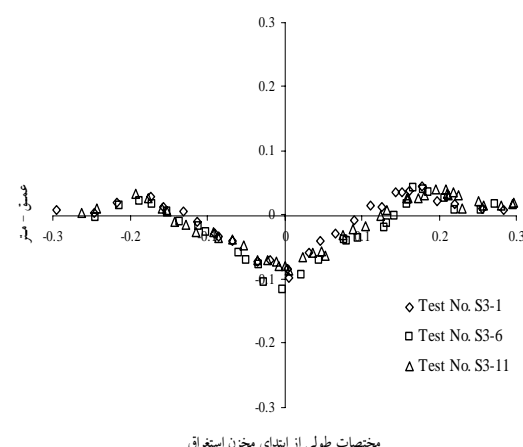
شکل ۷- تغییرات تفاوت عمق آبشتگی دینامیکی و استاتیکی در مقایسه با عدد فرود جت



شکل ۴- پروفیل طولی آبشتگی در عمق پاباب ۳۱/۵ سانتی-متر به ازای دبی‌های مختلف



شکل ۵- پروفیل طولی آبشتگی در عمق پاباب ۳۷/۵ سانتی-متر به ازای دبی‌های مختلف



شکل ۶- پروفیل طولی آبشتگی در عمق پاباب ۴۲/۵ سانتی-متر به ازای دبی‌های مختلف

ذکر این نکته ضروری است که تشابه زیاد ضرائب معادلات (۱۰) و (۱۱) به این دلیل می‌باشد که در تجزیه و تحلیل آماری به کار رفته در تحقیق حاضر، مشابه Ansari و همکاران [۴] از نتایج تحقیقات پیشین نیز استفاده شده است. لذا در ظاهر اختلاف معنی داری بین نتایج معادلات (۱۰) و (۱۱) دیده نمی‌شود و تنها مزیت آن را می‌توان افزایش دامنه به کارگیری قطر مصالح رسوبات غیر چسبنده نامید. به منظور بررسی روند تغییر پارامترهای حفره آبشتستگی و پشتۀ رسوبگذاری، مقادیر عمق و عرض بدون بعد آبشتستگی استاتیکی ( $L_s/h_j$  و  $d_s/h_j$ ) و ارتفاع و عرض پشتۀ تشکیل شده در اطراف حفره آبشتستگی ( $L_m/h_j$  و  $h_m/h_j$ ) مشاهداتی در تحقیق در مقابل عدد فرود جت در شکل‌های (۹) و (۱۰) نمایش داده شده‌اند.

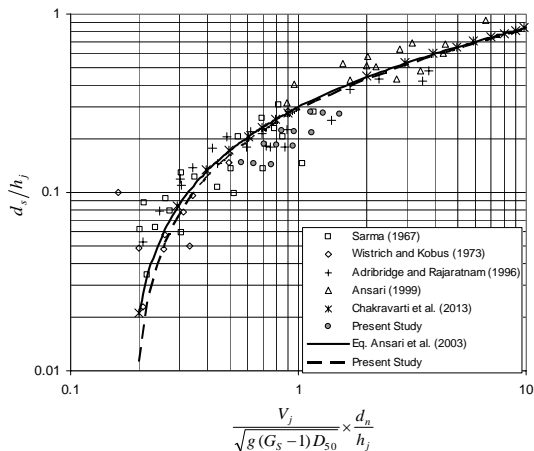
جهت معرفی بهتر نتایج نسبت به برآذش بهترین خط از بین داده‌های مشاهداتی اقدام گردید. معادلات خطوط برآذش داده شده از نوع توانی مناسب تر تشخیص داده شد که به صورت معادلات (۱۲) تا (۱۵) نمایش داده شده‌اند.

$$d_s/h_j = 0.1034 Fr_j^{0.6251} \quad (12)$$

$$L_s/h_j = 0.265 Fr_j^{0.5227} \quad (13)$$

$$h_m/h_j = 0.2212 Fr_j^{0.2268} \quad (14)$$

$$L_m/h_j = 0.2807 Fr_j^{0.4718} \quad (15)$$



شکل ۸- تغییرات عمق نسبی آبشتستگی استاتیکی در مقابل پارامتر فرسایش  $E_c$

$$\frac{d_s}{h_j} = 1.3 E_c^{0.15} - 1 \quad (10)$$

همان‌طوری که قبلاً بیان شد، قطر مصالح به کار رفته در تحقیقات پیشین در محدوده ماسه ریز بوده و این در حالی است که در تحقیق حاضر از شن ریز استفاده شده است. لذا جهت افزایش دقیق معادله (۱۰)، نتایج حاصل از تحقیق حاضر با نتایج محققین پیشین ترکیب شده و پس از تجزیه و تحلیل آماری نسبت به برآذش بهترین خط از بین نقاط اقدام گردید. نتایج به صورت معادله (۱۱) ارائه شده و در شکل (۸) نیز رسم گردیده است.

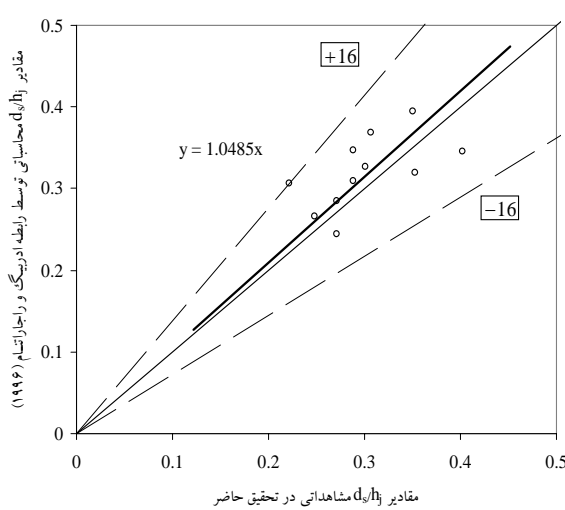
$$\frac{d_s}{h_j} = 1.289 E_c^{0.1508} - 1 \quad R^2 = 0.9122 \quad (11)$$

جدول ۲- پارامترهای مورد استفاده در آزمایش و خصوصیات عمق آبشتستگی استاتیکی و دینامیکی در تحقیق حاضر

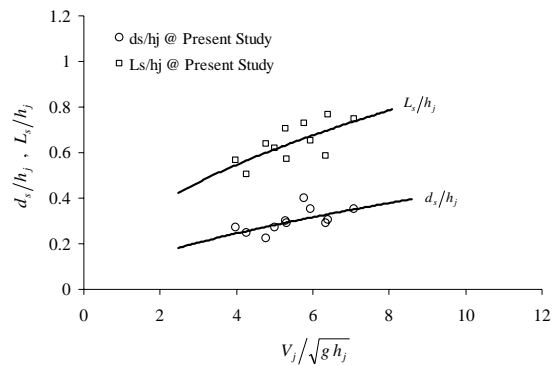
$(d_d-d_s)/h_j$	عمق آبشتستگی $d_s$ (m)	عمق آبشتستگی دینامیکی $d_d$ (m)	عدد فرود جت $Fr_j$	سرعت جت $V_j$ (m/s)	ارتفاع نصب جت $h_j$ (m)	شماره آزمایش
.۰/۲۲۲	.۰/۰۷	.۰/۱۴	۴/۷۹	۸/۴۲	.۰/۳۱۵	S1-1
.۰/۲۰۶	.۰/۰۹۵	.۰/۱۶	۵/۲۹	۹/۲۹	.۰/۳۱۵	S1-2
.۰/۲	.۰/۱۲۷	.۰/۱۹	۵/۷۸	۱۰/۱۶	.۰/۳۱۵	S1-3
.۰/۲۶۳	.۰/۰۹۷	.۰/۱۸	۶/۳۹	۱۱/۲۳	.۰/۳۱۵	S1-4
.۰/۳۱۴	.۰/۱۱۱	.۰/۲۱	۷/۰۸	۱۲/۴۴	.۰/۳۱۵	S1-5
.۰/۱۷۹	.۰/۰۹۳	.۰/۱۶	۴/۲۶	۸/۱۶	.۰/۲۷۵	S2-1
.۰/۱۶۵	.۰/۱۰۸	.۰/۱۷	۵/۳۱	۱۰/۱۸	.۰/۲۷۵	S2-2
.۰/۲۱۹	.۰/۱۰۸	.۰/۱۹	۶/۳۵	۱۲/۱۸	.۰/۲۷۵	S2-3
.۰/۱۰۶	.۰/۱۱۵	.۰/۱۶	۳/۹۸	۸/۱۲	.۰/۴۲۵	S3-1
.۰/۱۲۹	.۰/۱۱۵	.۰/۱۷	۵	۱۰/۲۱	.۰/۴۲۵	S3-2
.۰/۰۹۴	.۰/۱۵	.۰/۱۹	۵/۹۵	۱۲/۱۴	.۰/۴۲۵	S3-3

[۱] Rajaratnam و Aderibigbe نتایج حاصل از تحقیق می‌باشد. به منظور ارزیابی نتایج از نرم‌افزارهای تحلیل گر آماری، بهره‌گیری شده است. نتایج حاصل از تجزیه و تحلیل آماری انجام شده شامل تعیین توابع خطا در جدول (۳) خلاصه شده است. همان طوری که در جدول (۳) نشان داده شده است مقادیر پیش‌بینی شده توسط معادلات Rajaratnam و Aderibigbe [۱] جهت تخمین عمق و طول بدون بعد آبشنستگی در مقایسه با مشاهدات تحقیق حاضر به ترتیب ۷/۷۲۶ و ۱۵/۸۷ درصد دارای خطای میانگین می‌باشند.

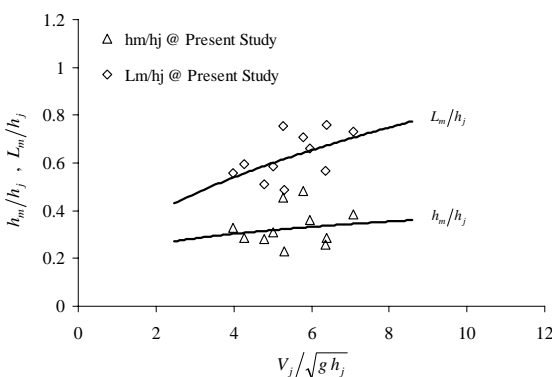
همچنین مقادیر ریشه میانگین مربعات خطای نشان‌گر آن است که مقادیر  $L_s/h_j$  و  $d_s/h_j$  مشاهداتی و محاسباتی به ترتیب دارای اختلاف نسبی معادل ۰/۰۴۵۷ و ۰/۱۱۵۱ می‌باشند. از بررسی نتایج مندرج در شکل (۱۱) ملاحظه می‌گردد که ضریب زاویه خط برازش داده شده بین مقادیر عمق بدون بعد آبشنستگی حاصل از مشاهدات تحقیق حاضر و معادلات Rajaratnam و Aderibigbe [۱] حاکی از آن است که معادلات توصیه شده توسط Rajaratnam و Aderibigbe مقدار عمق بدون بعد آبشنستگی  $d_s/h_j$  را به میزان ۴/۸۵ درصد بیشتر نشان می‌دهد. به طور مشابه از بررسی شکل (۱۲) مشاهده می‌گردد که معادله توصیه شده جهت طول بدون بعد آبشنستگی  $L_s/h_j$  توسط Rajaratnam و Aderibigbe [۱] حدود ۱۶/۳۴ درصد کمتر از مشاهدات آزمایشگاهی تحقیق حاضر پیش‌بینی می‌نماید.



شکل ۱۱- مقایسه نتایج حاصل از تحقیق حاضر جهت تخمین پارامتر  $d_s/h_j$  در مقابل نتایج حاصل از تحقیق Aderibigbe [۱] Rajaratnam



شکل ۹- تغییرات ابعاد بدون بعد حفره آبشنستگی در مقابل پارامتر فرسایش



شکل ۱۰- تغییرات ابعاد بدون بعد تپه رسوبی در مقابل پارامتر فرسایش

جهت بررسی کیفیت عملکرد یک تحقیق عموماً ایجاب می‌نماید که مشاهدات انجام شده در آزمایشگاه با یک کار مشابه مورد مقایسه قرار گیرد.

در میان تحقیقات انجام شده توسط محققین پیشین، مطالعات Rajaratnam و Aderibigbe [۱] که بر روی جهت‌های دایره‌ای قائم مستغرق انجام شده است، انتخاب گردید. روابط تجربی توصیه شده توسط ایشان طی معادلات (۳) و (۴) در مقدمه معرفی شدند.

پس از محاسبه مقادیر عمق و طول آبشنستگی استاتیکی متعادل شده توسط روابط (۳) و (۴)، مقادیر مذکور در مقایسه با نتایج آزمایشگاهی حاصل از تحقیق حاضر ترسیم شدند. شکل (۱۱) نتایج حاصل از تحقیق حاضر را جهت تخمین عمق بدون بعد آبشنستگی  $d_s/h_j$  در مقابل نتایج حاصل از رابطه Rajaratnam و Aderibigbe [۱] نشان می‌دهد.

به طور مشابه شکل (۱۲) نشان‌گر نتایج حاصل از تحقیق حاضر جهت تخمین طول بدون بعد آبشنستگی  $L_s/h_j$  در مقابل

جدول ۳- توابع خطای حاصل از مقایسه نتایج آزمایشگاهی تحقیق حاضر با مطالعات تحقیق Aderibigbe و Rajaratnam

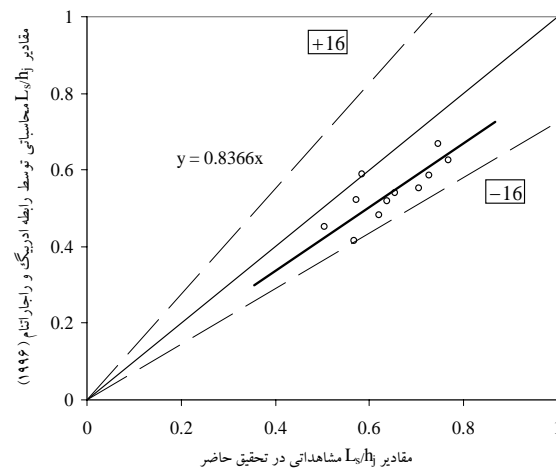
ضریب زاویه m	ضریب وزن باقیمانده CRM	خطای استاندارد تخمین SEE	ریشه میانگین مربعات خطای RMSE	میانگین خطای مطلق MAE	درصد میانگین خطای MPE	پارامتر
۱/۰۴۸	-۰/۰۶۳	۰/۰۳۷۵	۰/۰۴۵۷	۰/۰۴۰۳	۷/۷۲۶	$d_s/h_j$
۰/۸۳۶	۰/۱۶۱۲	۰/۰۴۷۶	۰/۱۱۵۱	۰/۱۰۴۴	-۱۵/۸۷۸	$L_s/h_j$

داده‌های تجربی موجود حاصل از نتایج تحقیقات پیشین شکل گرفته است. در این میان می‌توان به افزایش اندازه قطر متوسط ذرات رسوبات غیر چسبنده، افزایش در میزان تغییرات فاصله جت تا بستر اولیه رسوبات و در نتیجه تغییرات آبشتگی استاتیکی و دینامیکی حاصله اشاره نمود.

از مقایسه روند تغییرات تفاصل نسبی عمق آبشتگی دینامیکی و استاتیکی ( $d_d - d_s$ ) در مقایسه با عدد فرود جت می‌توان دریافت که افزایش ارتفاع جت  $h_j$  باعث کاهش تفاصل نسبی عمق آبشتگی دینامیکی و استاتیکی می‌شود. در یک تخمین واقع گرایانه می‌توان دریافت که با افزایش هر یک درصد ارتفاع نصب جت  $h_j$ ، منجر به کاهش  $0/۳۳$  درصدی تفاصل نسبی عمق آبشتگی دینامیکی و استاتیکی خواهد شد. از بررسی نتایج حاصل از تحقیق حاضر می‌توان دریافت که روند تغییرات عمق بدون بعد متعادل شده آبشتگی  $d_s/h_j$  و طول بدون بعد متعادل شده آبشتگی  $L_s/h_j$  با پارامتر فرود جت رابطه مستقیم دارد.

مقادیر پیش‌بینی شده توسط معادلات Aderibigbe و Rajaratnam [۱] مجہت تخمین عمق و طول بدون بعد آبشتگی در مقایسه با مشاهدات تحقیق حاضر به طور میانگین به ترتیب  $۷/۷۲۶$  و  $-۱۵/۸۷۸$  درصد دارای خطای می‌باشد. همچنین مقادیر ریشه میانگین مربعات خطای نشانگر آن است که مقادیر  $L_s/h_j$  و  $d_s/h_j$  مشاهداتی و محاسباتی به ترتیب دارای اختلاف نسبی معادل  $۰/۰۴۵۷$  و  $۰/۱۱۵۱$  می‌باشند.

معادلات توصیه شده توسط Aderibigbe و Rajaratnam [۱] مقدار عمق بدون بعد آبشتگی  $d_s/h_j$  را به میزان  $۴/۸۵$  درصد بیشتر نشان می‌دهد. به طور مشابه بررسی نشان می‌دهد  $L_s/h_j$  که معادله توصیه شده جهت طول بدون بعد آبشتگی  $L_s/h_j$  توسط Aderibigbe و Rajaratnam [۱] حدود  $۱۶/۳۴$  درصد کمتر از مشاهدات آزمایشگاهی تحقیق حاضر پیش‌بینی می‌نماید. ضمناً ملاحظه می‌گردد که مقادیر مشاهداتی و محاسباتی مجہت هر دو پارامتر عمق و طول بدون بعد آبشتگی در باند اطمینان  $۱۶$  درصد واقع گردیده‌اند.



شکل ۱۲- مقایسه نتایج حاصل از تحقیق حاضر جهت تخمین پارامتر  $L_s/h_j$  در مقابل نتایج حاصل از تحقیق Aderibigbe و Rajaratnam

ضمناً مقادیر مشاهداتی و محاسباتی مجہت هر دو پارامتر عمق و طول بدون بعد آبشتگی در باند اطمینان  $16$  درصد واقع گردیده‌اند.

همچنین از نتایج مندرج در جدول (۳) می‌توان دریافت که مقادیر عمق بدون بعد آبشتگی تخمین زده شده توسط رابطه Rajaratnam و Aderibigbe [۱] در مقایسه با مشاهدات نظری در تحقیق حاضر دارای ضریب باقیمانده منفی بوده و این تأکیدی بر این مطلب است که مقادیر  $d_s/h_j$  پیش‌بینی شده عمدتاً بزرگ‌تر از مقادیر اندازه‌گیری شده می‌باشند.

#### ۴- نتیجه‌گیری

در این تحقیق، نتایج حاصل از یک مطالعه تجربی مجہت تخمین میزان آبشتگی رسوبات غیر چسبنده درون حوضچه استغراق تحت جت دایره‌ای مستغرق ارائه شده است. برای این منظور آزمایش‌هایی در آزمایشگاه دانشگاه صنعتی جندی‌شاپور به منظور بررسی عکس العمل بسترهای شنبی در مقابل جت‌های قائم مستغرق به اجرا در آمد. تحقیق حاضر با گسترش دامنه

- Submerged Circular Vertical Jet", Journal of Hydraulic Engineering. 2003, 129 (12), 1014-1019.
- [9] Clarke, F. R. W., "The Action of Submerged Jets on Movable Material", PhD thesis, Imperial College, London, 1962.

در نهایت می‌توان نتیجه گرفت که معادلات توصیه شده در تحقیق حاضر علاوه بر برخورداری از شکلی ساده، قادر به توصیف شرایط آستانه حدی فرسایش می‌باشند. در این راستا نتایج نشان می‌دهد که به ازاء تغییرات پارامتر فرود جت بین  $4 < Fr_j < 7$  روند تغییرات عمق نسبی متعادل شده حفره آبشنستگی بین مقادیر  $d_s/h_j < 0.5$  و طول نسبی متعادل شده حفره آبشنستگی بین مقادیر  $L_s/h_j < 0.2$  نموده نماید.

#### ۵- تقدیر و تشکر

بدین وسیله نگارندگان از دانشگاه صنعتی جندی‌شاپور دزفول به پاس فراهم آوردن امکان استفاده از آزمایشگاه تحقیقاتی هیدرولیک و مهندسی رودخانه تقدیر و تشکر می‌نمایند.

#### ۶- مراجع

- [1] Aderibigbe, O. O., Rajaratnam, N., "Erosion of Loose Beds by Submerged Circular Impinging Vertical Turbulent Jets", Journal of Hydraulic Research. 1996, 34 (1), 19-33.
- [2] Raudikivi, A. J., "Loose Boundary Hydraulics", Chapter 9, 3rd Edition, Pergamon Press, New York, 1992.
- [3] Chakravarti, A., Jain, R. K., Kothyari, U. C., "Scour under Submerged Circular Vertical Jets in Cohesionless Sediments", ISH Journal of Hydraulic Engineering, 2013.
- [4] لشکرآرائی، "بررسی آزمایشگاهی تعیین عمق آبشنستگی ناشی از جت‌های قائم هوادهی شده"، پایان‌نامه دوره کارشناسی ارشد، دانشگاه آزاد اسلامی واحد دزفول، ۱۳۹۲.
- [5] Sarma, K. V. N., "Study of Scour Phenomenon and its Functional form", PhD Thesis, Indian Institute of Sciences, Bangalore, India, 1967.
- [6] Westrich, B., Kobus, H. "Erosion of a Uniform Sand Bed by Continuous and Pulsating Jets", the 15<sup>th</sup> IAHR Congress, Istanbul, Turkey, 1973, Vol. 1, A13.1-A13.8.
- [7] Rajaratnam, N., "Erosion by Submerged Circular jets", ASCE Journal of Hydraulic Division, 1982, 108 (HY2), 262-267.
- [8] Ansari, S. A., Kothyari, U. C., Ranga Raju, K. G., "Influence of Cohesion on Scour under

## EXTENDED ABSTRACT

# Estimation of Scour Hole Dimensions Due to Vertical Circular Submerged Jet

Babak Lashkar-Ara <sup>a,\*</sup>, Ali Lashkar-Ara <sup>b</sup>, Manoochehr Fathi-Moghadam <sup>c</sup>

<sup>a</sup> Faculty of Civil Engineering, Jundi-Shapour University of Technology, Dezful, Iran

<sup>b</sup> Saman Abrah Consulting Engineers

<sup>c</sup> Faculty of Water Engineering, Shahid Chamran University, Ahwaz, Iran

**Received:** 20 April 2014; **Accepted:** 20 October 2014

---

### Keywords:

Dynamic scouring, Static scouring, Vertical jet, Nozzle, Jet froude number

---

## 1. Introduction

In the field of hydraulic research, bed erosion is of considerable importance because it is necessary to estimate and control erosion near hydraulic structures [1]. The cause of erosion in many conditions could be flow concentration as in a high velocity jet. The structures involved in hydraulic science are subjected to scour around their foundations. If the depth of scour becomes significant, the stability is endangered [2]. Therefore, study of maximum scour depth is required for the safe and economic design of hydraulic structures and their foundations. Research on erosion by jets has been mainly empirical because of the complex nature of the flow and its interaction with the sediment bed. Because of three dimensional intrinsic characteristics of turbulent flows in energy dissipation studies, and also problematic aspects of mathematic governing equations of the study, researchers have to focus on physical model. The model generally has an ability to respond the complexities of the subject. Not to mention that it needs expert people to be involved including its relative high costs. The effects of the variation of hydraulic condition on the scour hole in the plunge pool are investigated in present study using a physical model.

## 2. Methodology

The purpose of this study is the investigation of the variation of hydraulic condition and tailwater depth on the scour hole in the plunge pool by a submerged circular vertical jet. Therefore, a physical model was prepared.

The model had an electromagnetic flow meter and pressure transducers. A slice gate was used for regulating tailwater depth. Experiments were conducted in a pool with 2m length, 1m width and 1m depth. Fig. 1 shows the experimental system of this research. Discharge was transported to the nozzle by a circular pipe with 4 inch diameter. For simulating a vertical jet, a roller for the nozzle was fixed at 90°. Tailwater depths were regulated at 0.325m, 0.385m and 0.435m [3]. The equilibrium time of scouring was determined for five times. For data acquisition of bed profile, a laser meter was used. Buckingham  $\pi$  theorem is used for determining effective parameters of scour hole as shown in Fig. 1.

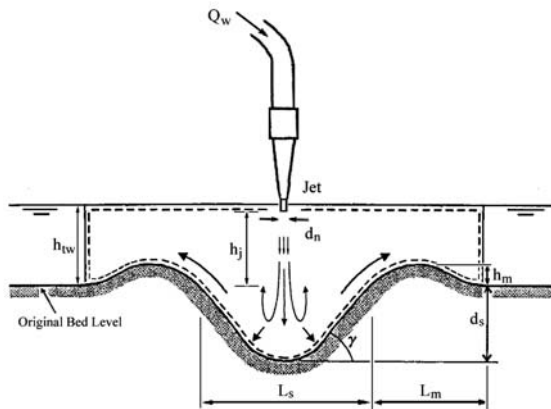
## 3. Experimental Results

The experimental conditions were regulated to evaluate the effect of jet depth on the jet Froude number. After the equilibrium time, scouring dynamic depth was measured using a point gage. Scour profile was recorded using a laser meter after stopping the jet and filling the pool out.

---

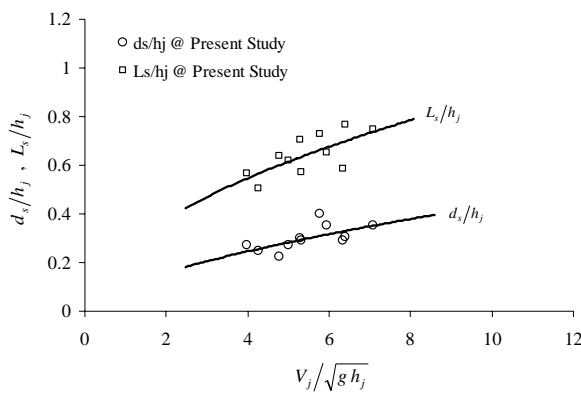
\* Corresponding Author

E-mail addresses: babak\_lashkarara@yahoo.com (Babak Lashkar-Ara), ali\_lashkarara@yahoo.com (Ali Lashkar-Ara), fathi49@gmail.com (Manoochehr Fathi-Moghadam).

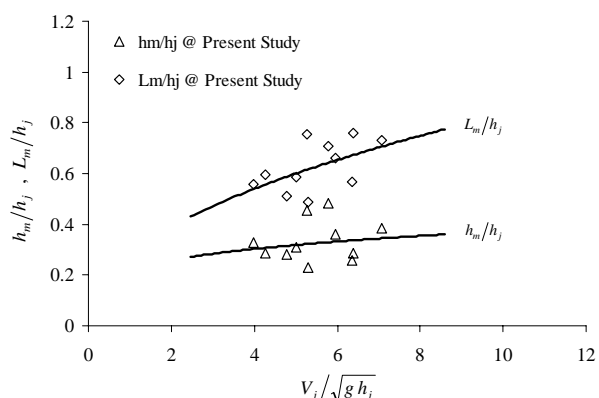


**Fig. 1.** Governing parameters of the study

Figs. 2 and 3 show the non-dimensional variation of scour hole parameters and non-dimensional variations of sediment hill versus erosion parameter, respectively.



**Fig. 2.** Non-dimensional variation of scour hole parameters versus erosion parameter



**Fig. 3.** Non-dimensional variations of sediment hill versus erosion parameter

#### 4. Discussion

The results of the experimental study on scour under submerged circular vertical jet were presented. It is noticeable that by variation of jet Froude number between 4 to 7, the relative scour hole length and depth are changed between 0.5 to 0.7, and 0.2 to 0.4, respectively. The present study extends the range of existing experimental data by involving jet diameters, different sediment size (gravel), and jet distance to bed resulting in much more complete conclusion than in all previous experimental studies.

#### 5. References

- [1] Aderibigbe, O. O., Rajaratnam, N., "Erosion of Loose Beds by Submerged Circular Impinging Vertical Turbulent Jets", Journal of Hydraulic Research, 1996, 34 (1), 19-33.
- [2] Ansari, S. A., Kothyari, U. C., Ranga Raju, K. G., "Influence of Cohesion on Scour under Submerged Circular Vertical Jet", Journal of Hydraulic Engineering, 2003, 129 (12), 1014-1019.
- [3] Lashkar-Ara, A., "Experimental Study of Aerated Vertical Jets on Scour Depth Determination" MSc Thesis, Islamic Azad University, Dezful Branch, Iran, 2013 (in Persian).